

## Индукированное нагрузкой увеличение концентрации и химического потенциала атомов кислорода в $\text{YBa}_2\text{Cu}_3\text{O}_{6+x}$ в окрестности перехода порядок–беспорядок

© Ю.М. Гербштейн, Н.Е. Тимошенко, А.Д. Мурадов, А.Ж. Рахимбеков

Физико-технический институт им. А.Ф. Иоффе Российской академии наук,  
194021 Санкт-Петербург, Россия

(Поступила в Редакцию 2 августа 1996 г.)

Обнаружено, что под действием нагрузки образец  $\text{YBa}_2\text{Cu}_3\text{O}_{6+x}$  поглощает кислород. Явление связано со смещением точки фазового перехода под действием нагрузки. Кроме того, это смещение приводит к увеличению химического потенциала атомов кислорода в нагруженном образце и является причиной повышенной сжимаемости материала в окрестности фазового перехода.

Известно, что образец  $\text{YBa}_2\text{Cu}_3\text{O}_{6+x}$  (YBCO) при поглощении кислорода уменьшается в объеме. Поэтому, согласно принципу Ле-Шателье, уменьшение объема образца под действием внешней нагрузки должно сопровождаться не выделением, а поглощением кислорода из газовой фазы.

В случае изолированного поликристаллического (т.е. изотропного) образца YBCO при постоянной температуре приращение химического потенциала атома кислорода, связанное с действием нагрузки, определяется, согласно термодинамике, выражением

$$\Delta\mu_0 = v\Delta\sigma, \quad (1)$$

где  $\Delta\sigma$  — всесторонняя нагрузка,  $v$  — изменение объема образца при поглощении одной частицы (зависимость  $v$  от деформации пренебрегаем). В случае одноосной нагрузки  $\Delta\sigma'$ , приложенной к основанию цилиндрического либо призматического образца, выражение (1) остается справедливым, если подставить в него эквивалентную всестороннюю нагрузку  $\Delta\sigma = \Delta\sigma'/3$ . Это очевидно для образца кубической формы, когда удаление кислорода приводит к одинаковому изменению размеров образца по всем трем направлениям. Изменение объема элементарной ячейки  $\text{YBa}_2\text{Cu}_3\text{O}_6$  при поглощении атома кислорода составляет, по разным источникам,  $(3-9) \cdot 10^{-30} \text{ м}^3$ . Если принять эту величину в качестве  $v$ , то, согласно (1), воздействие одноосной нагрузки  $\Delta\sigma' = 10^7 \text{ Па}$  приведет к приращению химического потенциала атомов кислорода в образце  $\Delta\mu_0 = 0.1-0.3 \text{ мэВ}$ .

В системе образец YBCO–газовая фаза нагрузка вызывает приращение химического потенциала атомов кислорода  $\Delta\mu \neq \Delta\mu_0$ . Приравнивая химические потенциалы атомов кислорода в образце и газе, нетрудно показать, что при температурах  $400-850^\circ\text{C}$ , давлении кислорода  $10^4 \text{ Па}$  и массе образца  $1 \text{ г}$  объем газа  $0.2 \text{ см}^3$  достаточно мал, чтобы величина  $\Delta\mu$  отличалась от  $\Delta\mu_0$  не более чем на 1%. При таких условиях предсказанное явление можно изучать путем измерения  $\Delta\mu$  в газовой фазе.

Для этого использовали датчик на основе  $\text{ZrO}_2$ , который позволяет контролировать в газе как  $\Delta\mu$ ,

так и изменение давления кислорода  $\Delta p$ . В нашем эксперименте пробирка из  $\text{ZrO}_2$  служила датчиком и реакционной камерой. В нее помещался цилиндрический образец, к основанию которого можно было прикладывать одноосную нагрузку.

На рис. 1 приведены зависимости  $\Delta\mu$  и  $\Delta p$  от времени  $t$ , полученные при температуре  $T = 515^\circ\text{C}$  и давлении кислорода  $p = 7 \cdot 10^3 \text{ Па}$ . Стрелки, направленные вниз и вверх, обозначают момент приложения и снятия нагрузки. Видно, что приложение нагрузки уменьшает давление кислорода в газе, а снятие возвращает его к исходному значению, т.е. приложение нагрузки, действительно, приводит к поглощению кислорода образцом. Видно также, что система приходит к равновесию примерно через  $20 \text{ мин}$  с постоянной времени  $3.5 \text{ мин}$  характерной для установления равновесия между YBCO и газовой фазой. Равновесное значение  $\Delta\mu$  превышает оценку. Дальше мы покажем, что это связано с влиянием структурного фазового перехода.

Измеряя равновесные значения  $\Delta\mu$  при разных температурах и используя связь между  $T$  и  $x$  [1],

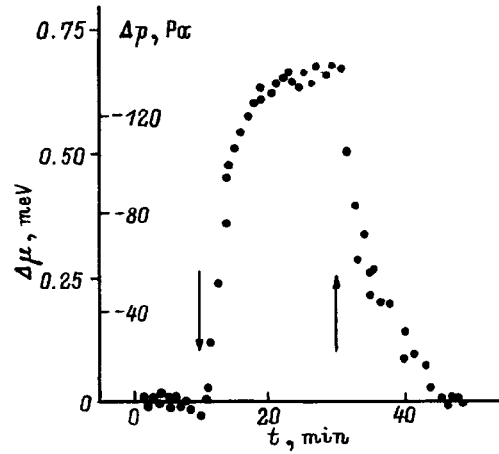
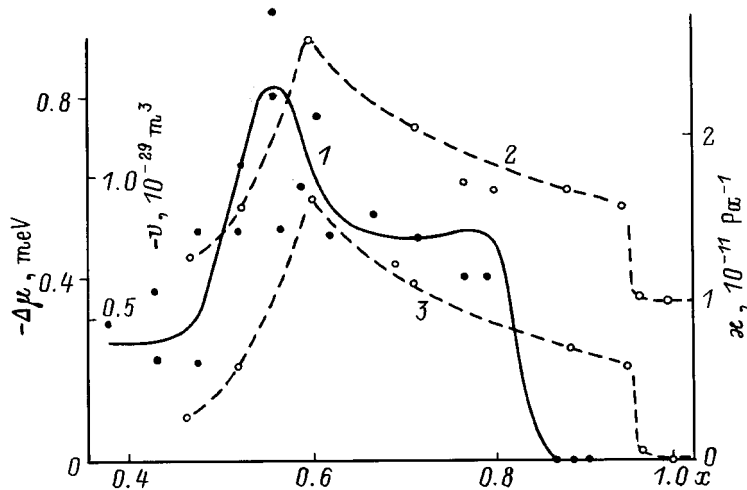


Рис. 1. Отклик датчика на приложение к образцу нагрузки, представленный в виде приращения химического потенциала атомов кислорода  $\Delta\mu$  и приращения давления кислорода  $\Delta p$ .



**Рис. 2.** Зависимости от содержания кислорода  $x$  в YBCO, индуцированного нагрузкой приращения химического потенциала атомов кислорода  $\Delta\mu$  и пропорциональной ему, связанной с переходом порядок–беспорядок сжимаемости  $\kappa_s^{\text{cal}}$  (1), сжимаемости [2]  $\kappa$  (2) и вклада в сжимаемость [2] перехода порядок–беспорядок  $\kappa_s$  (3).

получили зависимость  $\Delta\mu(x)$ , приведенную на рис. 2 в виде кривой 1, которая, согласно (1), описывает также зависимость  $v(x)$ . Эти функции имеют яму при  $x = 0.55$  и резко обращаются в нуль при  $x = 0.8$ .

Пик обнаружен в области перехода YBCO из тетрагональной фазы в орторомбическую. Как переход типа порядок–беспорядок он связан со скачком энтропии. Представим энтропию и химический потенциал атомов кислорода выражениями

$$s(x) = n^{-1} k \ln C_N^m F(x), \quad \mu(x) = Ts(x),$$

где  $s = S/n$  — энтропия, приходящаяся на один атом кислорода,  $n = 0.5Nx$  — число атомов кислорода,  $N$  — число мест, на которых эти атомы могут размещаться в слое CuO,  $F(x) = \{\exp[\beta(x - x_0)] + 1\}^{-1}$  — функция, которая в окрестности точки фазового перехода  $x_0$  меняется от единицы до нуля. В общем случае  $x_0$  зависит от нагрузки. В линейном приближении можно записать

$$x_0(\Delta\sigma) = x_0(0) + \alpha\Delta\sigma. \quad (2)$$

Зависимость  $x_0$  от  $\Delta\sigma$  приводит к появлению связанного с нагрузкой приращения химического потенциала атомов кислорода

$$\Delta\mu_s = v_s \Delta\sigma. \quad (3)$$

Здесь  $v_s = \partial\mu/\partial\sigma$  — изменение объема образца при переходе атома кислорода из системы упорядоченных в систему разупорядоченных атомов. Из сравнения функции (3) с экспериментальной зависимостью  $\Delta\mu(x)$  следует, что  $\alpha < 0$ . В этом случае функции  $\Delta\mu_s(x)$  и  $v_s(x)$  описывают яму в окрестности точки фазового перехода.

Вызванной нагрузкой фазовый переход сопровождается уменьшением объема образца. Это должно

привести к увеличению сжимаемости в точке фазового перехода. В случае существования фаз сжимаемость увеличивается в конечной области значений  $x$ . Это можно использовать для идентификации существования фаз.

Изменение объема образца вследствие вызванного нагрузкой фазового перехода определяется выражением  $\Delta V = \alpha\Delta\sigma N v_s$ , где  $\alpha\Delta\sigma$  — число атомов кислорода элементарной ячейки, которые под действием нагрузки  $\Delta\sigma$  переходят, согласно (2), в разупорядоченную фазу,  $N$  — число элементарных ячеек в образце. Отсюда вклад фазового перехода в сжимаемость (деформацию при единичной нагрузке) определяется выражением

$$\kappa_s = \alpha \frac{v_s}{v_{\text{cel}}}, \quad (4)$$

где  $v_{\text{cel}}$  — объем элементарной ячейки.

Кривая 2 на рис. 2 представляет экспериментальную зависимость  $\kappa(x)$ , построенную по результатам [2,3]. Между пиком при  $x = 0.6$  и ступенькой при  $x = 0.95$  имеется область повышенных значений  $\kappa$ , что указывает на существование фаз в этой области (например, "phase separation" [4]). Приняв меньшее, наблюдаемое при  $x = 1$ , значение  $\kappa$  за "обычную" сжимаемость  $\kappa_0$  и полагая ее не зависящей от  $x$ , найдем вклад фазового перехода в сжимаемость как  $\kappa_s(x) = \kappa(x) - \kappa_0$  (кривая 3). Сходство кривых 1 и 3 позволяет считать, что в условиях нашего эксперимента областью существования фаз является интервал  $0.55 < x < 0.8$ , наблюдаемый между пиком и ступенькой  $\Delta\mu(x)$ . Представив область существования фаз как область с конечным числом фазовых переходов, мы подобрали параметры этих переходов так, чтобы теоретическая зависимость (3) совпадла с экспериментальной  $\Delta\mu(x)$ , в результате чего нашли

$\alpha = 3 \cdot 10^{-10} \text{ Pa}^{-1}$ . Затем с помощью (4), принимая в качестве  $v_s(x)$  экспериментальные  $v(x)$ , мы рассчитали отвечающую условиям нашего эксперимента зависимость  $v_s^{\text{cal}}(x)$ . На рис. 2 ее представляет та же кривая 1, которая описывает  $\Delta\mu(x)$  и  $v(x)$ . Подобие кривых 1 и 3, а также количественное согласие между  $\chi(x)$  и  $\chi_s^{\text{cal}}$  свидетельствуют в пользу предлагаемой интерпретации.

Итак, приложенная к образцу YBCO нагрузка влияет на положение точки фазового перехода, что является причиной индуцированного нагрузкой увеличения концентрации и химического потенциала атомов кислорода, а также повышенной сжимаемости материала в окрестности фазового перехода.

Авторы благодарят М.С. Бреслера и Ю.М. Байкова за полезные обсуждения.

## Список литературы

- [1] Y. Kubo, Y. Nakabayashi, J. Tabuchi, T. Yoshitake, A. Ochi, K. Utsumi, H. Igarashi, M. Yonezawa. Jap. J. Appl. Phys. **26**, 11, 1888 (1987).
- [2] Н.Н. Сирота, К.Ж. Жамбайбеков. СФХТ **7**, 2, 285 (1994).
- [3] J.E. Blendell, C.K. Chiang, D.C. Cranmer, S.W. Freiman, E.R. Fuller, Jr.E. Dresher-Krasika, Ward L. Johnson, H.M. Ledbetter, L.H. Bennett, L.J. Swartzendruber, R.B. Marinenko, R.L. Myklebust, D.S. Bright, D.E. Newbury. ACS-symposium series 351 "Chemistry of High-Temperatyre Superconductors" (1987). P. 240–260.
- [4] Proc. of the second international workshop on "Phase Separation in Cuprate Superconductors" / Ed. E. Sigmund, K.A. Müller (Gottbus. Germany. 4–10 September, 1993). Springer-Verlag. Berlin (1993).